arXiv:1702.08045v2 [cs.CC] 27 Mar 2017

# О зависимости сложности и глубины обратимых схем, состоящих из функциональных элементов NOT, CNOT и 2-CNOT, от количества дополнительных входов

# General Upper Bounds for Gate Complexity and Depth of Reversible Circuits Consisting of NOT, CNOT and 2-CNOT Gates

Д. В. Закаблуков*
Dmitry V. Zakablukov†

28 марта 2017 г.

УДК 004.312, 519.7
Исследование выполнено при финансовой поддержке РФФИ в рамках научного проекта № 16-01-00196 А.

**Аннотация**

В работе рассматривается вопрос сложности и глубины обратимых схем, состоящих из функциональных элементов NOT, CNOT и 2-CNOT, в условиях ограничения на количество используемых дополнительных входов. Изучаются функции Шеннона сложности $L(n,q)$ и глубины $D(n,q)$ обратимой схемы, реализующей отображение $f\colon \mathbb{Z}_2^n \to \mathbb{Z}_2^n$, при условии, что количество дополнительных входов $q$ находится в диапазоне $8n < q \lesssim n2^{n-o(n)}$. Доказываются верхние оценки $L(n,q) \lesssim 2^n + 8n2^n/(\log_2(q-4n) - \log_2 n - 2)$ и $D(n,q) \lesssim 2^{n+1}(2,5 + \log_2 n - \log_2(\log_2(q-4n) - \log_2 n - 2))$ для указанного диапазона значений $q$.

The paper discusses the gate complexity and the depth of reversible circuits consisting of NOT, CNOT and 2-CNOT gates in the case, when the number of additional inputs is limited. We study Shannon's gate

*Аспирант МГТУ им. Н. Э. Баумана, кафедра «Информационная безопасность», г. Москва, e-mail: dmitriy.zakablukov@gmail.com
†Post-graduate of Information Security Chair, BMSTU, Moscow, e-mail: dmitriy.zakablukov@gmail.com

complexity function $L(n,q)$ and depth function $D(n,q)$ for a reversible circuit implementing a Boolean transformation $f\colon \mathbb{Z}_2^n \to \mathbb{Z}_2^n$ with $8n < q \lesssim n2^{n-o(n)}$ additional inputs. The general upper bounds $L(n,q) \lesssim 2^n + 8n2^n\,/(\log_2(q-4n) - \log_2 n - 2)$ and $D(n,q) \lesssim 2^{n+1}(2,5 + \log_2 n - \log_2(\log_2(q-4n) - \log_2 n - 2))$ are proved for this case.

**Ключевые слова**: обратимые схемы, сложность схемы, глубина схемы, вычисления с памятью.

**Keywords:** reversible logic, gate complexity, circuit depth, computations with memory.

## Введение

Теория схемной сложности берет свое начало с работы Шеннона [1], в которой было предложено в качестве меры сложности булевой функции рассматривать сложность реализующей ее минимальной контактной схемы.

О. Б. Лупановым установлена [2] асимптотика сложности $L(n) \sim \rho 2^n\,/\,n$ булевой функции от $n$ переменных в произвольном конечном полном базисе элементов с произвольными положительными весами, где $\rho$ обозначает минимальный приведенный вес элементов базиса. Также в работе [3] им были рассмотрены схемы из функциональных элементов с задержками и было доказано, что в регулярном базисе функциональных элементов любая булева функция может быть реализована схемой, имеющей задержку $T(n) \sim \tau n$, где $\tau$ — минимум приведенных задержек всех элементов базиса, при сохранении асимптотически оптимальной сложности. Однако вопрос зависимости значений функций $L(n)$ и $T(n)$ от количества используемых регистров памяти в данных работах не рассматривался.

Вопрос о вычислениях с ограниченной памятью был рассмотрен Н. А. Карповой в работе [4], где доказано, что в базисе классических функциональных элементов, реализующих все $p$-местные булевы функции, асимптотическая оценка функции Шеннона сложности схемы с тремя и более регистрами памяти зависит от значения $p$, но не изменяется при увеличении количества используемых регистров памяти.

В данной работе рассматриваются схемы, состоящие из обратимых функциональных элементов NOT, CNOT и 2-CNOT. Определение таких функциональных элементов и схем было дано, например, в работах [5, 6, 7]. Функции Шеннона сложности $L(n,q)$ и глубины $D(n,q)$ обратимой схемы, состоящей из элементов NOT, CNOT и 2-CNOT и реализующей некоторое булево отображение $\mathbb{Z}_2^n \to \mathbb{Z}_2^n$ с использованием $q$ дополнительных входов, были определены в работах [8, 9].

В работе [8] были получены следующие оценки сложности обратимой схемы:

$$L(n,0) \asymp n2^n\,/\log_2 n\,,$$
$$L(n,q_0) \asymp 2^n \;\text{ при }\; q_0 \sim n2^{n-\lceil n\,/\,\phi(n)\rceil}\,,$$

где $\phi(n) \leqslant n\,/(\log_2 n + \log_2 \psi(n))$ и $\psi(n)$ — любые сколь угодно медленно растущие функции.

В работе [9] были получены следующие оценки глубины обратимой схемы:

$$D(n,q) \geqslant \frac{2^n(n-2)}{3(n+q)\log_2(n+q)} - \frac{n}{3(n+q)}\ ,$$
$$D(n,0) \leqslant \frac{n2^{n+5}}{\psi(n)}\,(1+\varepsilon(n))\ ,$$

где $\psi(n) = \log_2 n - \log_2\log_2 n - \log_2\phi(n)$, $\phi(n) < n\,/\log_2 n$ — любая сколь угодно медленно растущая функция,

$$\varepsilon(n) = \frac{1}{4\phi(n)} + (4+o(1))\frac{\log_2 n\cdot\log_2\log_2 n}{n}\ .$$

Для схем с дополнительными входами были получены следующие оценки глубины обратимой схемы:

$$D(n,q_1) \lesssim 3n \ \text{ при } \ q_1 \sim 2^n\ , \qquad (1)$$
$$D(n,q_2) \lesssim 2n \ \text{ при } \ q_2 \sim \phi(n)2^n\ ,$$

где $\phi(n) = o(n)$ — любая сколь угодно медленно растущая функция.

Таким образом, на сегодняшний день известны оценки сложности и глубины обратимой схемы только в двух крайних случаях: когда в схеме совсем не используются дополнительные входы и когда их количество весьма велико. В данной работе при помощи алгоритма синтеза, основанного на стандартном методе О. Б. Лупанова, доказывается, что для любого значения $q$ в диапазоне $8n < q \lesssim n2^{n-o(n)}$ верны соотношения $L(n,q) \lesssim 2^n + 8n2^n\,/(\log_2(q-4n) - \log_2 n - 2)$ и $D(n,q) \lesssim 2^{n+1}(2,5 + \log_2 n - \log_2(\log_2(q-4n) - \log_2 n - 2))$.

# 1 Основные понятия

Определение обратимых функциональных элементов, в частности NOT и $k$-CNOT, можно найти в работах [5, 6, 7]. Мы будем пользоваться формальным определением этих элементов из работы [8].

Напомним, что через $N_j^n$ обозначается функциональный элемент NOT (инвертор) с $n$ входами, задающий преобразование $\mathbb{Z}_2^n \to \mathbb{Z}_2^n$ вида

$$f_j(\langle x_1,\ldots,x_n\rangle) = \langle x_1,\ldots,x_j\oplus 1,\ldots,x_n\rangle\ .$$

Через $C^n_{i_1,\ldots,i_k;j} = C^n_{I;j}$, $j \notin I$, обозначается функциональный элемент $k$-CNOT с $n$ входами (контролируемый инвертор, обобщенный элемент Тоффоли с $k$ контролирующими входами), задающий преобразование $\mathbb{Z}_2^n \to \mathbb{Z}_2^n$ вида

$$f_{i_1,\ldots,i_k;j}(\langle x_1,\ldots,x_n\rangle) = \langle x_1,\ldots,x_j\oplus x_{i_1}\wedge\ldots\wedge x_{i_k},\ldots,x_n\rangle\ .$$

Будем рассматривать только функциональные элементы NOT, CNOT (1-CNOT) и 2-CNOT и обратимые схемы, состоящие из них.

Через $L(\mathfrak{S})$, $D(\mathfrak{S})$ и $Q(\mathfrak{S})$ будем обозначать сложность обратимой схемы $\mathfrak{S}$, ее глубину и количество дополнительных входов соответственно. Функции Шеннона сложности $L(n,q)$ и глубины $D(n,q)$ обратимой схемы, состоящей из элементов NOT, CNOT и 2-CNOT и реализующей некоторое булево отображение $\mathbb{Z}_2^n \to \mathbb{Z}_2^n$ с использованием $q$ дополнительных входов, были определены в работах [8, 9].

Значимыми входами схемы будем называть все входы, не являющиеся дополнительными, а значимыми выходами — те выходы, значения на которых нужны для дальнейших вычислений.

## 2 Зависимость сложности обратимой схемы от количества дополнительных входов

Рассмотрим обратимую схему $\mathfrak{S}_n$ на рис. 1, реализующую все конъюнкции $n$ переменных вида $x_1^{a_1} \wedge \ldots \wedge x_n^{a_n}$, $a_i \in \mathbb{Z}_2$. Схема имеет $n$ значимых входов и $2^n$ значимых выходов; в нее входят подсхемы $\mathfrak{S}_{\lceil n/2 \rceil}$ и $\mathfrak{S}_{\lfloor n/2 \rfloor}$, реализующие конъюнкции от меньшего числа переменных. Если все $2^n$ конъюнкций на значимых выходах основной схемы реализовать одновременно, а не по мере необходимости, то $L(\mathfrak{S}_n) \sim 2^n$ и $Q(\mathfrak{S}_n) \sim 2^n$, как было доказано в работе [8, Лемма 1]. С другой стороны, мы можем конструировать конъюнкции по мере необходимости по одной, а не все сразу, используя только лишь значимые выходы подсхем $\mathfrak{S}_{\lceil n/2 \rceil}$ и $\mathfrak{S}_{\lfloor n/2 \rfloor}$ и всего один дополнительный вход, который и будет хранить значение нужной нам конъюнкции. После того, как все необходимые операции с этим значимым выходом будут осуществлены, мы можем его обнулить, применив те же функциональные элементы, что и для его получения, но в обратном порядке. Таким образом, в рассматриваемом нами случае для получения каждой конъюнкции потребуется не более двух элементов 2-CNOT, а для получения $t$ конъюнкций (последовательно, по мере необходимости) — не более $2t$ элементов 2-CNOT. Следовательно, $L(\mathfrak{S}_n) \lesssim O(2^{n/2}) + 2t$, $Q(\mathfrak{S}_n) \lesssim O(2^{n/2}) + 1$. Такой же подход можно применить к подсхемам $\mathfrak{S}_{\lceil n/2 \rceil}$ и $\mathfrak{S}_{\lfloor n/2 \rfloor}$, а также к подсхемам этих подсхем.

Если вообще не хранить промежуточных значений, а конструировать конъюнкции по мере необходимости, имея лишь входы $x_1, \ldots, x_n, \bar{x}_1, \ldots, \bar{x}_n$, то для получения каждой конъюнкции $x_1^{a_1} \wedge \ldots \wedge x_n^{a_n}$, очевидно, потребуется не более $2(n-1)$ элементов 2-CNOT, а дополнительных входов потребуется всего $(n-1)$ на все конъюнкции. К примеру, на рис. 2 показан пример конструирования конъюнкции $\bar{x}_1\bar{x}_2\bar{x}_3x_4x_5\bar{x}_6x_7x_8$ с использованием промежуточных значений $\bar{x}_1\bar{x}_2$, $\bar{x}_3x_4$, $x_5\bar{x}_6$ и $x_7x_8$ и последующем обнулением значений на незначимых выходах.

Рассмотрим в общем случае обратимую схему $\mathfrak{S}_{CONJ(n,q)}$, которая реализует конъюнкции $n$ переменных вида $x_1^{a_1} \wedge \ldots \wedge x_n^{a_n}$, $a_i \in \mathbb{Z}_2$, при усло-

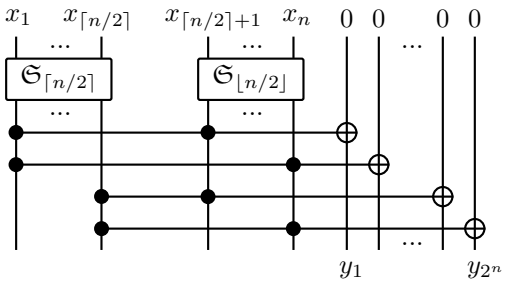


Рис. 1: Структура обратимой схемы, реализующей все конъюнкции от $n$ переменных с минимальной сложностью (входы схемы сверху).

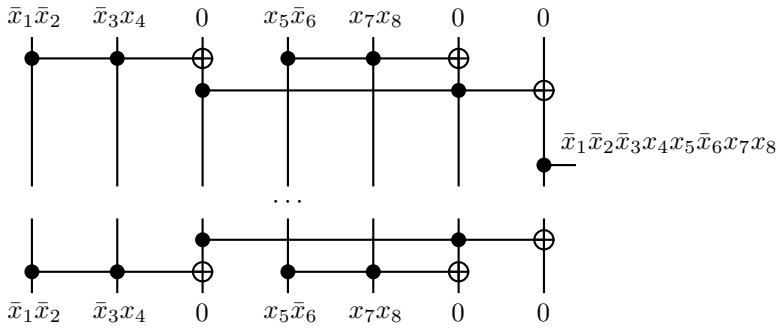


Рис. 2: Пример конструирования конъюнкции с использованием промежуточных значений и последующим обнулением значений на незначимых выходах (входы схемы сверху).

вии, что для хранения промежуточных значений отведено $q$ дополнительных входов, а значения $\bar{x}_1, \ldots, \bar{x}_n$ уже получены ранее. Обозначим через $L_{CONJ}(n, q, t)$ сложность схемы $\mathfrak{S}_{CONJ(n,q)}$, реализующей по мере необходимости $t$ конъюнкций, не обязательно различных, причем значение $t$ может быть любым, в том числе больше $2^n$. Также обозначим через $Q_{CONJ}(n, q, t)$ общее количество необходимых дополнительных входов для такой обратимой схемы. Из рассуждений выше можно вывести следующие простые оценки:

$$L_{CONJ}(n, 0, t) \leqslant 2(n-1)t \;, \tag{2}$$

$$Q_{CONJ}(n, 0, t) = n - 1 \;. \tag{3}$$

Для $q_0 \sim \lceil n \,/\, 2 \rceil + \lfloor n \,/\, 2 \rfloor$ верны соотношения

$$L_{CONJ}(n, q_0, t) \leqslant q_0 + 2t \;,$$
$$Q_{CONJ}(n, q_0, t) \leqslant q_0 + 1 \;.$$

Выведем зависимость значения функции $L_{CONJ}(n, q, t)$ от значения $q$.

**Лемма 1.** *Для любого значения $q > 2n$, $q \lesssim 2^n$ верны соотношения*

$$L_{CONJ}(n, q, t) \leqslant q + \frac{8nt}{\log_2 q - \log_2 n - 1} \;, \tag{4}$$

$$Q_{CONJ}(n, q, t) \leqslant q + n - 1 \;. \tag{5}$$

*Доказательство.* Соотношение $Q_{CONJ}(n, q, t) \leqslant q + n - 1$ следует из соотношения (3).

Рассмотрим структуру искомой обратимой схемы $\mathfrak{S}_{CONJ(n,q)}$ на рис. 3: она разбита на $K = \lceil \log_2 n \rceil$ уровней, нумерация ведется снизу вверх. На уровне номер $k$ расположены $2^{k-1}$ обратимых подсхем, все они имеют примерно одинаковое количество значимых входов и выходов и реализуют все конъюнкции от некоторого подмножества переменных $x_1, \ldots, x_n$, причем подмножества для разных схем одного уровня не пересекаются, их объединение равно всему множеству $\{ x_1, \ldots, x_n \}$, а мощности данных подмножеств примерно равны.

Для пояснения структуры схемы $\mathfrak{S}_{CONJ}$ рассмотрим частный ее случай для $n = 7$. Схема имеет $K = 3$ уровня, каждый ее уровень расписан в Таблице 1. Из данной таблицы видно, что если некоторая подсхема $\mathfrak{S}_{k;i}$ на уровне $k$ имеет $2^m$ значимых выходов, то на уровне $(k+1)$ есть ровно две подсхемы $\mathfrak{S}_{k+1;j}$ и $\mathfrak{S}_{k+1;j+1}$, подключенные к ней, первая из которых имеет $2^{\lfloor m \,/\, 2 \rfloor}$ значимых выходов, а вторая — $2^{\lceil m \,/\, 2 \rceil}$ значимых выходов. Структура подсхемы $\mathfrak{S}_{k;i}$ проста: она реализует конъюнкции каждого значимого выхода подсхемы $\mathfrak{S}_{k+1;j}$ с каждым значимым выходом подсхемы $\mathfrak{S}_{k+1;j+1}$ (см. рис. 4). Следовательно, сложность такой подсхемы будет равна $2^{\lfloor m \,/\, 2 \rfloor} \cdot 2^{\lceil m \,/\, 2 \rceil} = 2^m$ (используются только элементы 2-CNOT).

Вернемся к общей схеме $\mathfrak{S}_{CONJ}$. Нам дано $q$ дополнительных входов для хранения промежуточных значений. Разумнее всего потратить их для

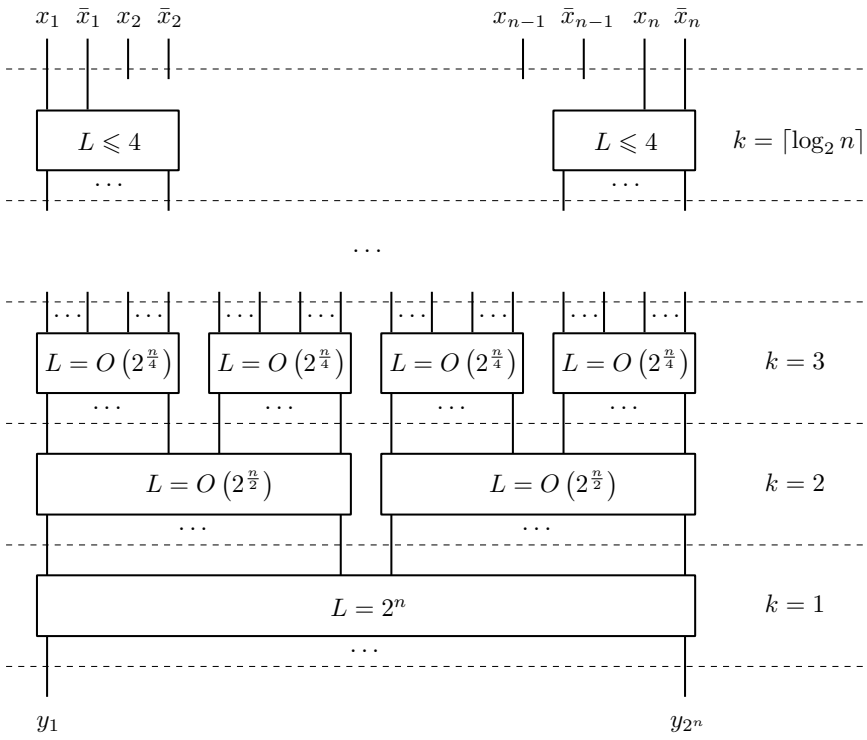


Рис. 3: Общая структура обратимой схемы $\mathfrak{S}_{CONJ(n,q)}$ (входы схемы сверху).

хранения значений на выходах подсхем самых высоких уровней, поскольку видно, что чем меньше уровень схемы $\mathfrak{S}_{CONJ}$, тем больше требуется дополнительных входов для хранения промежуточных значений.

Рассмотрим случай, когда мы имеем возможность хранить все промежуточные значения. Обозначим через $L_k$ количество элементов на $k$-м уровне схемы. К примеру, $L_1 = 2^n$, $L_2 = 2^{\lfloor n/2 \rfloor} + 2^{\lceil n/2 \rceil}$.

Оценим значение $L_k$. Поскольку

$$\left\lceil \frac{n}{2} \right\rceil = \left\lfloor \frac{n+1}{2} \right\rfloor \leqslant \frac{n+1}{2} \,,$$

то

$$L_2 \leqslant 2 \cdot \max\left(2^{\lfloor \frac{n}{2} \rfloor}, 2^{\lceil \frac{n}{2} \rceil}\right) = 2 \cdot 2^{\lceil \frac{n}{2} \rceil} \leqslant 2 \cdot 2^{\frac{n}{2}+\frac{1}{2}} \,.$$

Отсюда следует, что

$$L_3 \leqslant 4 \cdot 2^{\frac{n}{4}+\frac{1}{4}+\frac{1}{2}} \,,$$
$$L_4 \leqslant 8 \cdot 2^{\frac{n}{8}+\frac{1}{8}+\frac{1}{4}+\frac{1}{2}} \,,$$
$$L_k \leqslant 2^k \cdot 2^{n/2^{k-1}} \,.$$

| **Ур.** | **Подсхема** | **Кол-во входов** | **Кол-во выходов** | **Подмножество переменных, для которых реализованы все конъюнкции** |
|---|---|---|---|---|
| 1 | $\mathfrak{S}_{1;1}$ | $2^3 + 2^4$ | $2^7$ | $\{ x_1, \ldots, x_7 \}$ |
| 2 | $\mathfrak{S}_{2;1}$ | $2^1 + 2^2$ | $2^3$ | $\{ x_1, x_2, x_3 \}$ |
| | $\mathfrak{S}_{2;2}$ | $2^2 + 2^2$ | $2^4$ | $\{ x_4, x_5, x_6, x_7 \}$ |
| 3 | $\mathfrak{S}_{3;1}$ | 2 | $2^1$ | $\{ x_1 \}$ |
| | $\mathfrak{S}_{3;2}$ | 4 | $2^2$ | $\{ x_2, x_3 \}$ |
| | $\mathfrak{S}_{3;3}$ | 4 | $2^2$ | $\{ x_4, x_5 \}$ |
| | $\mathfrak{S}_{3;4}$ | 4 | $2^2$ | $\{ x_6, x_7 \}$ |

Таблица 1: Описание структуры обратимой схемы $\mathfrak{S}_{CONJ}$ при $n = 7$.

Обозначим $\delta_k = 2^k \cdot 2^{n\,/\,2^{k-1}}$. Значение переменной $k$ лежит в диапазоне $[1, \ldots, K]$, $K = \lceil \log_2 n \rceil$, $k \in \mathbb{N}$. Сделаем переобозначение переменной: $k = K - s$, тогда $s = s(k) = K - k$. Если $k$ обозначает номер уровня схемы при нумерации от выходов ко входам (снизу вверх), то $(s + 1)$ будет означать номер уровня схемы при нумерации от входов к выходам (сверху вниз). Значение переменной $s$ лежит в диапазоне $[0, \ldots, K - 1]$, $s \in \mathbb{Z}_+$. В этом случае

$$\delta_k = \frac{2^K}{2^s} \cdot 2^{(2n \cdot 2^s)\,/\,2^K} \leqslant \frac{2n}{2^s} \cdot 2^{2^{s+1}} = \Delta_s \ .$$

Следовательно, мы получили цепочку неравенств

$$L_k \leqslant \delta_k \leqslant \Delta_{s(k)} = \frac{2n}{2^s} \cdot 2^{2^{s+1}} \ .$$

Выпишем первые члены ряда $\{ \Delta_{s(k)} \}$: $\{ 8n, 16n, 128n, \ldots \}$. Видно, что с ростом $s$ значение $\Delta_s$ растет все быстрее. Более того, можно утверждать, что для любого $s \geqslant 1$ верно соотношение

$$\sum_{i=0}^{s-1} \Delta_i \leqslant \frac{\Delta_s}{2} \ .$$

Отсюда следует, что

$$\sum_{i=0}^{s} \Delta_i \leqslant \frac{3\Delta_s}{2} \ ,$$

$$\sum_{i=K}^{K-s} L_i \leqslant \frac{3n}{2^s} \cdot 2^{2^{s+1}} \ . \tag{6}$$

Другими словами, сумма сложностей всех подсхем на последних $(s + 1)$ уровнях (при нумерации снизу вверх) не превышает $3n \cdot 2^{-s+2^{s+1}}$.

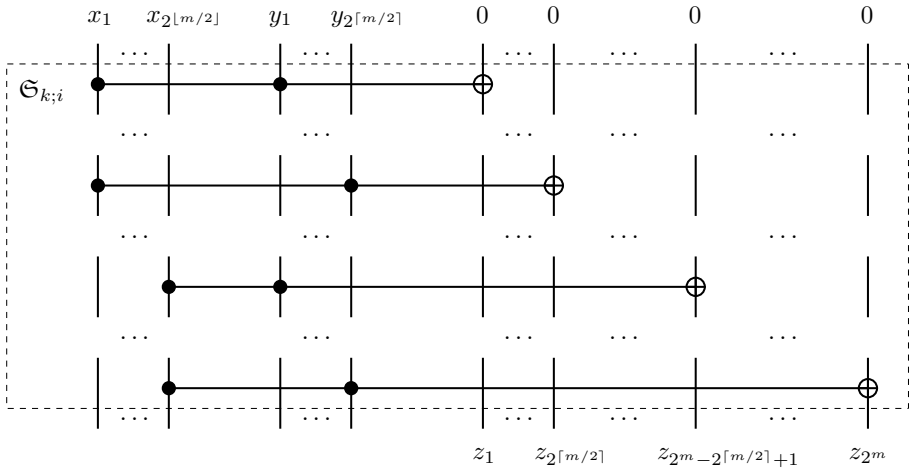


Рис. 4: Структура подсхемы $\mathfrak{S}_{k;i}$ обратимой схемы $\mathfrak{S}_{CONJ}$ (входы схемы сверху).

Вернемся снова к общей схеме $\mathfrak{S}_{CONJ}$. Из рис. 2 видно, что для конструирования по мере необходимости одного значимого выхода схемы $\mathfrak{S}_{CONJ}$ на первых $r$ уровнях будет использовано не более $(1+2+4+\ldots+2^{r-1}) = (2^r-1)$ элементов 2-CNOT. Столько же функциональных элементов потребуется для обнуления значений на незначимых выходах. Следовательно, при условии, что количество уровней, для которых подсхемы надо конструировать по мере необходимости, не превышает $r$, верно соотношение

$$L_{CONJ}(n,q,t) \leqslant q + 2(2^r-1)\cdot t \leqslant q + t\cdot 2^{r+1}\ . \tag{7}$$

Слагаемое $q$ в данном соотношении, очевидно, следует из того факта, что для получения значения на одном выходе любой подсхемы $\mathfrak{S}_{k;i}$ требуется ровно один элемент 2-CNOT. Если мы можем хранить не более $q$ промежуточных значений на выходах подсхем, то для их хранения потребуется не более $q$ элементов 2-CNOT.

Нам требуется оценить значение $r$. Пусть для данного по условию задачи значения $q$ выполняется неравенство

$$\frac{3n}{2^s}\cdot 2^{2^{s+1}} \leqslant q < \frac{3n}{2^{s+1}}\cdot 2^{2^{s+2}} \tag{8}$$

для некоторого значения $s \in [0,\ldots,K-1]$, $s \in \mathbb{Z}_+$. Тогда мы можем утверждать, что данного значения $q$ достаточно для хранения значений на всех выходах подсхем на последних $(s+1)$ уровнях при нумерации уровней снизу вверх (см. соотношение (6)), а количество первых уровней, для которых подсхемы нужно конструировать по мере необходимости, не превышает $(k-1)$, поскольку $(s+1) = K-(k-1)$. Следовательно, $r \leqslant k-1$. Из правого

неравенства соотношения (8) следует, что

$$\log_2 q < \log_2 3 + \log_2 n - s - 1 + 2^{s+2} ,$$
$$\frac{2^K}{2^k} = 2^s > \frac{\log_2 q - (\log_2 3 + \log_2 n - s - 1)}{4} ,$$
$$(\log_2 q - (\log_2 3 + \log_2 n - s - 1))2^k < 4 \cdot 2^K ,$$
$$K = \lceil \log_2 n \rceil , \ s \geqslant 0 \ \Rightarrow 2^k < \frac{8n}{\log_2 q - \log_2 n - 1} \ \text{ при } q > 2n \ .$$

Поскольку $r + 1 \leqslant k$, то

$$2^{r+1} < \frac{8n}{\log_2 q - \log_2 n - 1} \ \text{ при } q > 2n \ . \tag{9}$$

Из этого неравенства и неравенства (7) следует оценка из утверждения Леммы

$$L_{CONJ}(n, q, t) \leqslant q + \frac{8nt}{\log_2 q - \log_2 n - 1} .$$

Ограничение $q \lesssim 2^n$ из утверждения Леммы связано с тем, что при значениях $q \gtrsim 2^n$ не наблюдается снижение сложности обратимой схемы для рассматриваемого способа синтеза. □

Отметим, что по аналогии со схемой $\mathfrak{S}_{CONJ}$ можно построить схему $\mathfrak{S}_{XOR}$, которая для заданных входов $x_1, \ldots, x_n$ реализует на своих значимых выходах значения $x_1 \wedge a_1 \oplus \ldots \oplus x_n \wedge a_n$, $a_i \in \mathbb{Z}_2$. Для этого просто надо каждый элемент 2-CNOT в схеме $\mathfrak{S}_{CONJ}$ заменить на два элемента CNOT. Следовательно,

$$L_{XOR}(n, q, t) \leqslant 2q + \frac{16nt}{\log_2 q - \log_2 n - 1} ,$$
$$Q_{XOR}(n, q, t) \leqslant q + n - 1 .$$

Теперь мы можем доказать основную теорему данного раздела.

**Теорема 1** (общая верхняя оценка сложности обратимой схемы с дополнительными входами)**.** *Для любого значения $q > 8n$, $q \lesssim n2^{n - \lceil n \,/\, \phi(n) \rceil}$, где $\phi(n) \leqslant n \,/ (\log_2 n + \log_2 \psi(n))$ и $\psi(n)$ — любые сколь угодно медленно растущие функции, верно соотношение*

$$L(n, q) \lesssim 2^n + \frac{8n2^n}{\log_2(q - 4n) - \log_2 n - 2} .$$

*Доказательство.* Опишем алгоритм синтеза $\mathbf{A_q}$, который является модификацией стандартного алгоритма О. Б. Лупанова и который предназначен для синтезирования обратимых схем в условиях ограничения на количество используемых дополнительных входов.

Произвольное булево отображение $f\colon \mathbb{Z}_2^n \to \mathbb{Z}_2^n$ можно представить в виде некоторых $n$ булевых функций $f_i\colon \mathbb{Z}_2^n \to \mathbb{Z}_2$ от $n$ переменных

$$f(\mathbf{x}) = \langle f_1(\mathbf{x}), f_2(\mathbf{x}), \ldots, f_n(\mathbf{x}) \rangle \ . \tag{10}$$

Каждую функцию $f_i(\mathbf{x})$ можно разложить по последним $(n-k)$ переменным:

$$f_i(\mathbf{x}) = \bigoplus_{a_{k+1},\ldots,a_n \in \mathbb{Z}_2} x_{k+1}^{a_{k+1}} \wedge \ldots \wedge x_n^{a_n} \wedge f_i(\langle x_1, \ldots, x_k, a_{k+1}, \ldots, a_n \rangle) \ . \tag{11}$$

Каждая из $n2^{n-k}$ булевых функций $f_i(\langle x_1, \ldots, x_k, a_{k+1}, \ldots, a_n \rangle)$, $1 \leqslant i \leqslant n$, является функцией от $k$ переменных $x_1, \ldots, x_k$, ее можно получить при помощи аналога СДНФ, в котором дизъюнкции заменяются на сложение по модулю два:

$$f_i(\langle x_1, \ldots, x_k, a_{k+1}, \ldots, a_n \rangle) = f_{i,j} = \bigoplus_{\substack{\boldsymbol{\sigma} \in \mathbb{Z}_2^k \\ f_{i,j}(\boldsymbol{\sigma}) = 1}} x_1^{\sigma_1} \wedge \ldots \wedge x_k^{\sigma_k} \ . \tag{12}$$

Все $2^k$ конъюнкций вида $x_1^{\sigma_1} \wedge \ldots \wedge x_k^{\sigma_k}$ можно разделить на группы, в каждой из которых будет не более $s$ конъюнкций. Обозначим через $p = \lceil 2^k / s \rceil$ количество таких групп. Используя конъюнкции одной группы, мы можем реализовать не более $2^s$ булевых функций по формуле (12). Обозначим через $G_i$ множество булевых функций, которые могут быть реализованы при помощи конъюнкций $i$-й группы, $1 \leqslant i \leqslant p$. Тогда $|G_i| \leqslant 2^s$. Следовательно, мы можем переписать формулу (12) следующим образом:

$$f_i(\langle x_1, \ldots, x_k, a_{k+1}, \ldots, a_n \rangle) = \bigoplus_{\substack{t=1\ldots p \\ g_{j_t} \in G_t \\ 1 \leqslant j_t \leqslant |G_t|}} g_{j_t}(\langle x_1, \ldots, x_k \rangle) \ . \tag{13}$$

Отсюда следует, что

$$f_i(\mathbf{x}) = \bigoplus_{a_{k+1},\ldots,a_n \in \mathbb{Z}_2} \left( \bigoplus_{\substack{t=1\ldots p \\ g_{j_t} \in G_t \\ 1 \leqslant j_t \leqslant |G_t|}} x_{k+1}^{a_{k+1}} \wedge \ldots \wedge x_n^{a_n} \wedge g_{j_t}(\langle x_1, \ldots, x_k \rangle) \right) \ . \tag{14}$$

Общая структура обратимой схемы $\mathfrak{S}_f$, которая реализует отображение $f$ и которая синтезируется алгоритмом $\mathbf{A_q}$, показана на рис. 5.

Сперва реализуем отрицания для всех входных значений $x_1, \ldots, x_n$ со сложностью $2n$ (по элементу NOT и CNOT на каждый вход), задействовав $n$ дополнительных входов.

Разобьем множество значимых входов схемы $x_1, \ldots, x_n$ на две группы: $\{ x_1, \ldots, x_k \}$ и $\{ x_{k+1}, \ldots, x_n \}$. Первую группу входов вместе с их отрицаниями подадим на подсхему $\mathfrak{S}_1 = \mathfrak{S}_{CONJ(k,q_1)}$ для реализации некоторых

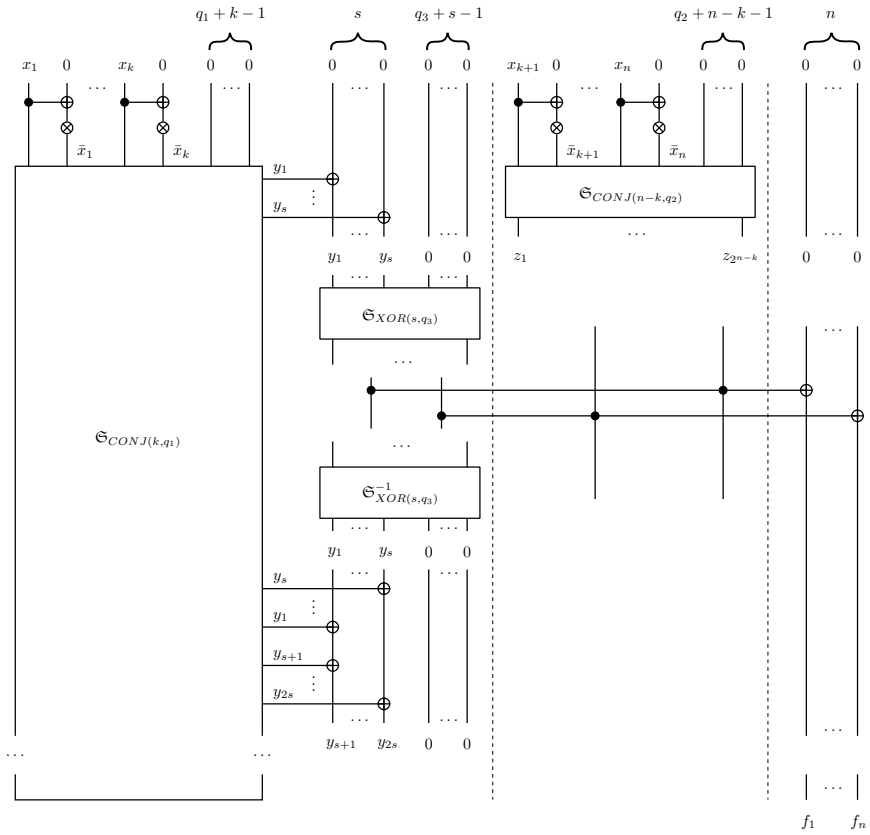


Рис. 5: Структура обратимой схемы $\mathfrak{S}_f$, реализующей отображение $f\colon \mathbb{Z}_2^n \to \mathbb{Z}_2^n$ в условиях ограничения на количество используемых дополнительных входов (входы схемы сверху).

$t_1$ конъюнкций $x_1^{a_1} \wedge \ldots \wedge x_k^{a_k}$, $a_i \in \mathbb{Z}_2$, отведя данной подсхеме $q_1$ дополнительных входов для хранения промежуточных значений. Вторую группу входов вместе с их отрицаниями подадим на подсхему $\mathfrak{S}_2 = \mathfrak{S}_{CONJ(n-k,q_2)}$ для реализации некоторых $t_2$ конъюнкций $x_{k+1}^{a_{k+1}} \wedge \ldots \wedge x_n^{a_n}$, $a_i \in \mathbb{Z}_2$, отведя данной подсхеме $q_2$ дополнительных входов для хранения промежуточных значений.

Будем реализовывать все $2^k$ различных конъюнкций на значимых выходах подсхемы $\mathfrak{S}_1$ последовательно. Полученные значения будем хранить, используя дополнительные входы. Как только будут получены очередные $s$ конъюнкций, соответствующие им $s$ значимых выходов подаем на значимые входы подсхемы $\mathfrak{S}_{3;i} = \mathfrak{S}_{XOR(s,q_3)}$ для получения значений некоторых $t_3$ функций от переменных $x_1, \ldots, x_k$, отведя данной подсхеме $q_3$ дополнительных входов для хранения промежуточных значений. Всего будет не

более $p = \lceil 2^k / s \rceil$ различных подсхем $\mathfrak{S}_{3;i}$. Как только работа с очередной подсхемой $\mathfrak{S}_{3;i}$ будет закончена, значение на $q_3$ незначимых выходах обнуляем, применяя те же самые функциональные элементы, что и для получения подсхемы, но в обратном порядке. Затем обнуляем значения на $s$ значимых выходах, служивших значимыми входами подсхеме $\mathfrak{S}_{3;i}$, реализуя еще раз полученные ранее $s$ конъюнкций при помощи подсхемы $\mathfrak{S}_1$ (см. рис. 5). Тем самым мы сможем не увеличивать количество используемых дополнительных входов, а использовать одни и те же дополнительные входы, увеличивая однако при этом сложность соответствующих подсхем в два раза.

Из формулы (14) следует, что имея значения некоторого значимого выхода подсхемы $\mathfrak{S}_2$ и некоторого значимого выхода подсхемы $\mathfrak{S}_{3;i}$, мы можем реализовать одно слагаемое во внутренней скобке, используя ровно один элемент 2-CNOT, контролируемый выход которого будет одним из $n$ значимых выходов нашей конструируемой схемы $\mathfrak{S}_f$ (см. рис. 5). Рассматриваемое нами отображение $f$ имеет $n$ выходов, количество групп конъюнкций от первых $k$ переменных $x_1, \ldots, x_k$ равно $p$, количество различных конъюнкций от последних $(n-k)$ переменных $x_{k+1}, \ldots, x_n$ равно $2^{n-k}$. Следовательно, схемная сложность реализации функции $f_i$ по формуле (14) равна $p2^{n-k}$, а отображения $f$ в целом равна $L_4 = pn2^{n-k}$, при этом потребуется ровно $n$ дополнительных входов для хранения выходных значений отображения $f$.

Таким образом, мы можем вывести неравенство для $L(f, q)$ следующего вида:

$$L(f,q) = 2n + L_{CONJ}(k, q_1, t_1) + L_{CONJ}(n-k, q_2, t_2) + \\ + 2p \cdot L_{XOR}(s, q_3, t_3) + pn2^{n-k}\ , \quad (15)$$

и для $Q(\mathfrak{S}_f)$ следующего вида:

$$Q(\mathfrak{S}_f) = q = n + Q_{CONJ}(k, q_1, t_1) + \\ + Q_{CONJ}(n-k, q_2, t_2) + Q_{XOR}(s, q_3, t_3) + n\ . \quad (16)$$

Отметим, что каждая из $2^k$ различных конъюнкций на значимых выходах подсхемы $\mathfrak{S}_1$ будет получена ровно два раза, следовательно, $t_1 = 2^{k+1}$.

Поскольку каждый значимый выход подсхемы $\mathfrak{S}_2$ используется в качестве входа для $pn$ элементов 2-CNOT, а значимый выход подсхемы $\mathfrak{S}_{3;i}$ может использоваться в качестве входа для $2^{n-k}$ элементов 2-CNOT, возникает два различных способа конструирования нашей искомой схемы $\mathfrak{S}_f$:

1. В первом случае мы минимизируем значение $t_2$: для каждой группы конъюнкций от первых $k$ переменных $x_1, \ldots, x_k$ мы один раз конструируем очередной значимый выход подсхемы $\mathfrak{S}_2$, а затем конструируем для него $n$ значимых выходов подсхемы $\mathfrak{S}_{3;i}$. Тогда можно утверждать, что $t_2 = p2^{n-k}$, $t_3 \leqslant n2^{n-k}$.

2. Во втором случае мы минимизируем значение $t_3$: для каждой группы конъюнкций от первых $k$ переменных $x_1, \ldots, x_k$ мы один раз конструируем очередной значимый выход подсхемы $\mathfrak{S}_{3;i}$, а затем конструируем для него нужные значимые выходы подсхемы $\mathfrak{S}_2$. Таких выходов может быть один, а может быть и $2^{n-k}$. Однако мы точно можем утверждать, что $t_2 \leqslant pn2^{n-k}$, $t_3 \leqslant 2^s$.

Оценим в общем случае значение $L(f, q)$:

$$L(f,q) \leqslant 2n + pn2^{n-k} + q_1 + q_2 + 4pq_3 + \frac{8k2^{k+1}}{\log_2 q_1 - \log_2 k - 1} + \\ + \frac{8(n-k)t_2}{\log_2 q_2 - \log_2(n-k) - 1} + \frac{32pst_3}{\log_2 q_3 - \log_2 s - 1}\,.$$

Будем искать такие значения $k$ и $s$, что $p = \lceil 2^k \,/\, s \rceil \sim 2^k \,/\, s$. Тогда

$$L(f,q) \lesssim 2n + \frac{n2^n}{s} + q_1 + q_2 + \frac{4q_3 2^k}{s} + \frac{8k2^{k+1}}{\log_2 q_1 - \log_2 k - 1} + \\ + \frac{8(n-k)t_2}{\log_2 q_2 - \log_2(n-k) - 1} + \frac{32t_3 2^k}{\log_2 q_3 - \log_2 s - 1}\,.$$

1. Пусть $t_2 = p2^{n-k} \sim 2^n \,/\, s$, $t_3 \leqslant n2^{n-k}$. В этом случае

$$L(f,q) \lesssim 2n + \frac{n2^n}{s} + q_1 + q_2 + \frac{4q_3 2^k}{s} + \frac{8k2^{k+1}}{\log_2 q_1 - \log_2 k - 1} + \\ + \frac{8 \cdot 2^n}{\log_2 q_2 - \log_2(n-k) - 1} + \frac{32n2^n}{\log_2 q_3 - \log_2 s - 1}\,. \quad (17)$$

Положим $s = n - k$, $k = \lceil n \,/\, \phi(n) \rceil$, где $\phi(n) \leqslant n \,/ (\log_2 n + \log_2 \psi(n))$ и $\psi(n)$ — любые сколь угодно медленно растущие функции. В этом случае будет верно неравенство $2^k \,/\, s \geqslant \psi(n)$.

Поскольку $q_3 \lesssim 2^s$ и $q_2 < q \lesssim n2^{n - \lceil n \,/\, \phi(n) \rceil}$, то $q_2 = o(2^n)$ и верно соотношение

$$2n + \frac{n2^n}{s} + q_2 + \frac{4q_3 2^k}{s} \lesssim 2n + \frac{n2^n}{n - o(n)} + q_2 + \frac{2^{n+2}}{n - o(n)} \lesssim 2^n\,. \quad (18)$$

Положим $q_1 = 0$, $q_2 = q_3$. Согласно формуле (2), $L_{CONJ}(n, 0, t) \leqslant 2(n-1)t$, следовательно, мы можем заменить в соотношении (17) сложность подсхемы $\mathfrak{S}_1$ на $k2^{k+2}$:

$$L(f,q) \lesssim 2^n + k2^{k+2} + \frac{8 \cdot 2^n}{\log_2 q_2 - \log_2(n-k) - 1} + \frac{32n2^n}{\log_2 q_3 - \log_2 s - 1}\,.$$

Очевидно, что $k2^{k+2} = 4\lceil n \,/\, \phi(n) \rceil \cdot 2^{\lceil n \,/\, \phi(n) \rceil} = o(2^n)$ и $8 \cdot 2^n \,/ (\log_2 q_3 - \log_2 s - 1) = o\left(32n2^n \,/ (\log_2 q_3 - \log_2 s - 1)\right)$, поэтому верно соотношение

$$L(f,q) \lesssim 2^n + \frac{32n2^n}{\log_2 q_3 - \log_2 s - 1}\,.$$

Согласно Лемме 1, $Q_{CONJ}(n,q,t) \leqslant q+n-1$, поэтому соотношение (16) можо переписать в виде

$$q \leqslant n+k-1+q_2+n-k-1+q_3+s-1+n = 4n-k+2q_3-3 < 4n+2q_3\ . \quad (19)$$

Следовательно, $\log_2 q_3 > \log_2(q-4n)-1$. Отсюда получаем соотношение

$$L(f,q) \lesssim 2^n + \frac{32n2^n}{\log_2(q-4n)-\log_2 n-2}\ ,$$

которое верно при $\log_2(q-4n) > \log_2 n+2 \Rightarrow q > 8n$.

2. Пусть $t_2 \leqslant pn2^{n-k} \sim n2^n \,/\, s$, $t_3 \leqslant 2^s$. В этом случае

$$L(f,q) \lesssim 2n + \frac{n2^n}{s} + q_1 + q_2 + \frac{4q_3 2^k}{s} + \frac{8k2^{k+1}}{\log_2 q_1 - \log_2 k - 1} + \\ + \frac{8n2^n}{\log_2 q_2 - \log_2(n-k)-1} + \frac{32\cdot 2^n}{\log_2 q_3 - \log_2 s - 1}\ . \quad (20)$$

Как и в первом способе, положим $s = n-k$, $k = \lceil n \,/\, \phi(n) \rceil$, где $\phi(n) \leqslant n\,/(\log_2 n + \log_2 \psi(n))$ и $\psi(n)$ — любые сколь угодно медленно растущие функции; $q_1 = 0$, $q_2 = q_3$. Тогда из рассуждений, приведенных при описании первого способа, следует соотношение

$$L(f,q) \lesssim 2^n + \frac{8n2^n}{\log_2 q_2 - \log_2(n-k)-1} + \frac{32\cdot 2^n}{\log_2 q_3 - \log_2 s - 1}\ .$$

Очевидно, что $32 \cdot 2^n\,/(\log_2 q_2 - \log_2(n-k) - 1) = o\left(8n2^n\,/(\log_2 q_2 - \log_2(n-k)-1)\right)$, поэтому верно соотношение

$$L(f,q) \lesssim 2^n + \frac{8n2^n}{\log_2 q_2 - \log_2(n-k)-1}\ .$$

Поскольку $\log_2 q_3 > \log_2(q-4n)-1$, то и $\log_2 q_2 > \log_2(q-4n)-1$. Отсюда получаем соотношение

$$L(f,q) \lesssim 2^n + \frac{8n2^n}{\log_2(q-4n)-\log_2 n-2}\ ,$$

которое верно при $\log_2(q-4n) > \log_2 n+2 \Rightarrow q > 8n$.

Видно, что второй способ синтеза асимптотически лучше первого.

Поскольку мы описали алгоритм синтеза обратимой схемы для произвольного отображения $f$, то

$$L(n,q) \leqslant L(f,q) \lesssim 2^n + \frac{8n2^n}{\log_2(q-4n)-\log_2 n-2}$$

при $q > 8n$. При значениях $q \gtrsim n2^{n-\lceil n\,/\,\phi(n)\rceil}$ не наблюдается снижение сложности обратимой схемы для рассматриваемого способа синтеза. □

# 3 Зависимость глубины обратимой схемы от количества дополнительных входов

Из доказательства Теоремы 1 также можно получить верхнюю оценку для функции $D(n,q)$ в случае $q > 8n$, $q \lesssim n2^{n-o(n)}$, но для этого необходимо сперва доказать вспомогательную лемму.

**Лемма 2.** *Для любого значения $q > 2n$, $q \lesssim 2^n$ верны соотношения*

$$D_{CONJ}(n,q,t) \leqslant q + 2t(2 + \log_2 n - \log_2(\log_2 q - \log_2 n - 1)) \,.$$
$$D_{CONJ}(n,0,t) \leqslant 2t \cdot \lceil \log_2 n \rceil \,.$$

*Доказательство.* Рассмотрим схему $\mathfrak{S}_{CONJ(n,q)}$ из Леммы 1. Согласно формуле (7), верно неравенство $L_{CONJ}(n,q,t) \leqslant q + 2t \cdot 2^r$. Промежуточные значения, хранимые на $q$ дополнительных входах, можно получить с глубиной не более $q$. Также очевидно, что сконструировать по мере необходимости один значимый выход схемы $\mathfrak{S}_{CONJ}$ на первых $r$ уровнях можно с глубиной $r$, см. рис. 2. Отсюда следует, что

$$D_{CONJ}(n,q,t) \leqslant q + 2tr \,.$$

Согласно формуле (9), при $q > 2n$ верно неравенство

$$2^r < \frac{4n}{\log_2 q - \log_2 n - 1} \,,$$

откуда следует, что

$$r < 2 + \log_2 n - \log_2(\log_2 q - \log_n - 1) \,,$$
$$D_{CONJ}(n,q,t) \leqslant q + 2t(2 + \log_2 n - \log_2(\log_2 q - \log_2 n - 1)) \,.$$

Соотношение $D_{CONJ}(n,0,t) \leqslant 2t \cdot \lceil \log_2 n \rceil$ следует из соотношения (2) и того факта, что сконструировать одну конъюнкцию $x_1^{a_1} \wedge \ldots \wedge x_n^{a_n}$ можно с логарифмической глубиной $\lceil \log_2 n \rceil$. □

Аналогично, для обратимой схемы $\mathfrak{S}_{XOR(n,q)}$ верно неравенство

$$D_{XOR}(n,q,t) = 2D_{CONJ}(n,q,t) \leqslant 2q + 4t(2 + \log_2 n - \log_2(\log_2 q - \log_2 n - 1))$$

для любого значения $q > 2n$, $q \lesssim 2^n$.

Итак, докажем последнюю теорему данной работы.

**Теорема 2** (общая верхняя оценка глубины обратимой схемы с дополнительными входами)**.** *Для любого значения $q > 8n$, $q \lesssim n2^{n-\lceil n\,/\,\phi(n)\rceil}$, где $\phi(n) \leqslant n\,/(\log_2 n + \log_2 \psi(n))$ и $\psi(n)$ — любые сколь угодно медленно растущие функции, верно соотношение*

$$D(n,q) \lesssim 2^{n+1}(2,5 + \log_2 n - \log_2(\log_2(q - 4n) - \log_2 n - 2)) \,.$$

*Доказательство.* Рассмотрим обратимую схему $\mathfrak{S}_f$ из доказательства Теоремы 1, синтезированную алгоритмом $\mathbf{A_q}$. Из соотношения (15) можно вывести аналогичное соотношение для глубины $D(f,q)$ вида

$$D(f,q) = 2 + D_{CONJ}(k,q_1,t_1) + D_{CONJ}(n-k,q_2,t_2) + \\ + 2p \cdot D_{XOR}(s,q_3,t_3) + pn2^{n-k} \, .$$

Положим $s = n-k$, $k = \lceil n \,/\, \phi(n) \rceil$, где $\phi(n) \leqslant n \,/ (\log_2 n + \log_2 \psi(n))$ и $\psi(n)$ — любые сколь угодно медленно растущие функции. В этом случае будут верны соотношения $p \sim 2^k \,/\, s \geqslant \psi(n)$ и $pn2^{n-k} \sim n2^n \,/\, s \sim 2^n$.

Положим $q_1 = 0$. Поскольку $t_1 = 2^{k+1}$, то

$$D_{CONJ}(k,q_1,t_1) \leqslant 2t_1 \cdot \lceil \log_2 k \rceil \leqslant \lceil \log_2 \lceil n \,/\, \phi(n) \rceil \rceil \cdot 2^{\lceil n \,/\, \phi(n) \rceil + 2} = o(2^n) \, .$$

Таким образом, верно соотношение

$$D(f,q) \lesssim 2^n + D_{CONJ}(n-k,q_2,t_2) + \frac{2^{k+1}}{s} \cdot D_{XOR}(s,q_3,t_3) \, .$$

Рассмотрим те же два случая для $t_2$ и $t_3$, что и на с. 13.

1. Пусть $t_2 = p2^{n-k} \sim 2^n \,/\, s$, $t_3 \leqslant n2^{n-k}$. В этом случае

   $$D_{CONJ}(n-k,q_2,t_2) \leqslant q_2 + \frac{2^{n+1}}{s}(2 + \log_2 s - \log_2(\log_2 q_2 - \log_2 s - 1)) \, ,$$
   $$D_{XOR}(s,q_3,t_3) \leqslant 2q_3 + n2^{n-k+2}(2 + \log_2 s - \log_2(\log_2 q_3 - \log_2 s - 1)) \, .$$

   Положим $q_2 = q_3$. Обозначим $d = 2 + \log_2 s - \log_2(\log_2 q_2 - \log_2 s - 1)$, тогда

   $$D(f,q) \lesssim 2^n + q_2 + \frac{d2^{n+1}}{s} + \frac{q_3 2^{k+2}}{s} + \frac{dn2^{n+3}}{s} \, .$$

   Согласно формуле (18), верно соотношение

   $$2^n + q_2 + \frac{4q_3 2^k}{s} \lesssim 2^n \, .$$

   Отсюда получаем, что

   $$D(f,q) \lesssim 2^n + \frac{dn2^{n+3}}{s} \lesssim 2^n + 2^{n+3}(2 + \log_2 n - \log_2(\log_2 q_3 - \log_2 n - 1)) \, .$$

   Из соотношения (19) следует, что $\log_2 q_3 > \log_2(q-4n) - 1$. Таким образом, получаем итоговую оценку сверху вида

   $$D(f,q) \lesssim 2^n(17 + 8(\log_2 n - \log_2(\log_2(q-4n) - \log_2 n - 2))) \, ,$$

   которая верна при $\log_2(q-4n) > \log_2 n + 2 \Rightarrow q > 8n$.

2. Пусть $t_2 \leqslant pn2^{n-k} \sim n2^n \,/\, s$, $t_3 \leqslant 2^s$. В этом случае

$$D_{CONJ}(n-k, q_2, t_2) \leqslant q_2 + \frac{n2^{n+1}}{s}(2 + \log_2 s - \log_2(\log_2 q_2 - \log_2 s - 1)) \,,$$
$$D_{XOR}(s, q_3, t_3) \leqslant 2q_3 + 2^{s+2}(2 + \log_2 s - \log_2(\log_2 q_3 - \log_2 s - 1)) \,.$$

Положим $q_2 = q_3$. Обозначим $d = 2 + \log_2 s - \log_2(\log_2 q_2 - \log_2 s - 1)$, тогда

$$D(f, q) \lesssim 2^n + q_2 + \frac{dn2^{n+1}}{s} + \frac{q_3 2^{k+2}}{s} + \frac{d2^{n+3}}{s} \,.$$

Согласно формуле (18), верно соотношение

$$2^n + q_2 + \frac{4q_3 2^k}{s} \lesssim 2^n \,.$$

Отсюда получаем, что

$$D(f, q) \lesssim 2^n + \frac{dn2^{n+1}}{s} \lesssim 2^n + 2^{n+1}(2 + \log_2 n - \log_2(\log_2 q_2 - \log_2 n - 1)) \,.$$

Из соотношения (19) следует, что $\log_2 q_2 > \log_2(q - 4n) - 1$. Таким образом, получаем итоговую оценку сверху вида

$$D(f, q) \lesssim 2^{n+1}(2,5 + \log_2 n - \log_2(\log_2(q - 4n) - \log_2 n - 2)) \,,$$

которая верна при $\log_2(q - 4n) > \log_2 n + 2 \Rightarrow q > 8n$.

Видно, что второй способ синтеза асимптотически лучше первого.

Поскольку мы описали алгоритм синтеза обратимой схемы для произвольного отображения $f$, то

$$D(n, q) \leqslant D(f, q) \lesssim 2^{n+1}(2,5 + \log_2 n - \log_2(\log_2(q - 4n) - \log_2 n - 2))$$

при $q > 8n$. □

При увеличении количества дополнительных входов с $q \sim n2^{n-o(n)}$ до $q \sim 2^n$ верхняя асимптотическая оценка функции $D(n, q)$ снижается с экспоненциальной до линейной, см. соотношение (1). Однако выведение зависимости верхней оценки функции $D(n, q)$ от $q$ для диапазона $n2^{n-o(n)} \lesssim q \lesssim 2^n$ выходит за рамки данной работы.

## Заключение

В данной работе были рассмотрены обратимые схемы, состоящие из функциональных элементов NOT, CNOT и 2-CNOT и имеющие различное число дополнительных входов $q$. Были изучены функции Шеннона сложности

$L(n,q)$ и глубины $D(n,q)$ обратимой схемы, реализующей какое-либо отображение $\mathbb{Z}_2^n \to \mathbb{Z}_2^n$ в условиях ограничения на значение $q$. Были доказаны верхние оценки для функций $L(n,q)$ и $D(n,q)$ для диапазона $8n < q \lesssim n2^{n-o(n)}$. Из полученных соотношений можно сделать вывод, что использование дополнительной памяти в обратимых схемах, состоящих из элементов NOT, CNOT и 2-CNOT, почти всегда позволяет существенно снизить сложность и глубину таких схем.

## Список литературы


[1] C. E. Shannon, "The synthesis of two-terminal switching circuits", *Bell System Technical Journal*, **28**:8 (1949), 59–98.

[2] О. Б. Лупанов, "Об одном методе синтеза схем", *Изв. вузов. Радиофизика.* 1958. Т. 1, № 1. С. 23–26.

[3] О. Б. Лупанов, "О схемах из функциональных элементов с задержками" *Проблемы кибернетики, вып. 23*, Наука, М., 1970, 43–81.

[4] Н. А. Карпова, "О вычислениях с ограниченной памятью", *Математические вопросы кибернетики, вып. 2*, Наука, М., 1989, 131–144.

[5] R. Feynman, "Quantum Mechanical Computers", *Optic News*, **11**:2 (1985), 11–20. DOI: 10.1364/ON.11.2.000011.

[6] D. A. Maslov, *Reversible Logic Synthesis*, Ph. D. Thesis, University of New Brunswick Fredericton, N. B., Canada, 2003, 165 pp.

[7] V. V. Shende, A. K. Prasad, I. L. Markov, J. P. Hayes, "Synthesis of Reversible Logic Circuits", IEEE Transactions on Computer-Aided Design of Integrated Circuits and Systems, **22**:6 (2006), 710–722. DOI: 10.1109/TCAD.2003.811448.

[8] Д. В. Закаблуков, "О сложности обратимых схем, состоящих из функциональных элементов NOT, CNOT и 2-CNOT", *Дискретная математика*, 2016. Т. 28, № 2. С. 12–26.

[9] Д. В. Закаблуков, "Оценка глубины обратимых схем из функциональных элементов NOT, CNOT и 2-CNOT", *Вестник Московского университета, серия «Математика. Механика»*, 2016, № 3. С. 3–12.